

## การใช้เกาลินร่วมกับถ่านหินเป็นสารเติมแต่งในการเผาไหม้ฟางข้าวเพื่อแก้ปัญหาฟาล์วล้าง An Using Additive of Kaolin with Anthracite coal for Solving Fouling Problem from Combustion of Rice straw

สรารวุฒิ สังวรกาญจน์\*, ธรรมบุญ อุดมมัน และฐานิตย์ เมธิยานนท์

ภาควิชาวิศวกรรมเครื่องกล คณะวิศวกรรมศาสตร์ มหาวิทยาลัยเทคโนโลยีมหานคร จังหวัดกรุงเทพมหานคร 10530

\*ติดต่อ: E-mail: Sungworagan6@hotmail.com โทร 02-988-3655 ต่อ 3107

### บทคัดย่อ

งานวิจัยนี้เป็นการศึกษาการลดปัญหาการเกิดฟาล์วล้างจากการเผาไหม้ฟางข้าวร่วมกับแกลบที่สัดส่วน 80:20 โดยน้ำหนัก โดยใช้สารเติมแต่งเกาลินร่วมกับถ่านหินแอนทราไซต์ ที่อัตราส่วนเกาลิน 2% ร่วมกับถ่านหิน 32.1% และเกาลิน 3.7% ร่วมกับถ่านหิน 17.9% โดยน้ำหนักของฟางข้าว ในเตาเผาไหม้ตะกรับแบบเอียงขนาดพิกัด 150 kW<sub>th</sub> ผลการทดลองพบว่าอุณหภูมิภายในเตาเผาไหม้มีค่าสูงขึ้นตามการเพิ่มปริมาณถ่านหินและมีอุณหภูมิในห้องเผาไหม้อยู่ในช่วง 820-850°C การเผาไหม้ฟางข้าวและแกลบโดยใช้สารเติมแต่งเกาลินร่วมกับถ่านหินแอนทราไซต์สามารถลดการเกิดฟาล์วล้างได้ดี โดยเตาผลิตฟลักซ์อยู่ในช่วง 40-68 g/m<sup>2</sup>h ซึ่งส่งผลให้ความสามารถการถ่ายเทความร้อนสัมพัทธ์ลดลงไม่เกิน 5% ในขณะที่การเผาไหม้ที่ไม่ผสมสารเติมแต่งมีเตาผลิตฟลักซ์สูงถึง 285 g/m<sup>2</sup>h ส่งผลให้ความสามารถการถ่ายเทความร้อนลดลงถึง 35% ดังนั้นผลจากงานวิจัยนี้แสดงให้เห็นได้อย่างชัดเจนว่าการใช้สารเติมแต่งเกาลินร่วมกับถ่านหินแอนทราไซต์เป็นทางเลือกหนึ่งที่สามารถลดการเกิดฟาล์วล้างได้

**คำหลัก:** เกาลิน; ถ่านหินแอนทราไซต์; ฟางข้าว; ฟาล์วล้าง; เตาเผาไหม้ตะกรับ

### Abstract

This research investigated to mitigate the fouling problem from the combustion of rice straw/rice husk at the ratio of 80:20 by weight using kaolin as an additive and co-firing with anthracite coal at content of kaolin 2% with anthracite coal 32.1%, and kaolin 3.7% with anthracite coal 17.9% by weight of rice straw in a step grate-fired combustor with a 150 kW<sub>th</sub> capacity. The results showed that the combustor temperature increased with coal contents and presented in range of 820-850°C. The combustion of rice straw/rice husk mixture with kaolin and anthracite coal displayed a superior ability to abate the fouling problem as a result of the deposit flux in range of 40-68 g/m<sup>2</sup>h which caused heat uptake by the probe reduce less than 5%. In comparison with the combustion of rice straw/rice husk without additives, the deposit flux was 285 g/m<sup>2</sup>h, leading to decrease heat uptake by the probe 35%. Consequently, the results from this research revealed that using kaolin as an additive and co-firing with anthracite coal was the alternative option for mitigating the fouling problem.

Keywords: Kaolin; Anthracite coal; Rice straw; Fouling; Grate-fired combustor.

### 1. บทนำ

ในการศึกษาค้นหาพลังงานรูปแบบต่างๆเพื่อทดแทนพลังงานที่ได้จากซากฟอสซิล ที่มีแนวโน้มของราคาที่สูงขึ้น เป็นงานวิจัยที่ต้องพัฒนากันอย่างต่อเนื่องเพื่อหาแหล่งพลังงานทดแทนที่สามารถนำพลังงานมาใช้ประโยชน์และมีประสิทธิภาพสูงสุด เพื่อช่วยประหยัดค่าใช้จ่าย ลดปัญหามลพิษและสิ่งแวดล้อมของโลก รวมทั้งช่วยประหยัดพลังงาน ซึ่งประเทศไทยได้คำนึงถึง

ความสำคัญในการประหยัดพลังงานหรือการหาพลังงานทดแทน ทางกระทรวงพลังงานของประเทศไทย ได้จัดทำแผนพัฒนาพลังงานทดแทนและพลังงานทางเลือก (Alternative Energy Development Plant : AED:2015) [1] การทดแทนพลังงานความร้อนจากเชื้อเพลิงชีวมวลเป็นหัวข้อหนึ่งที่ถูกระบุไว้ในแผน เชื้อเพลิงชีวมวลที่เป็นวัสดุเหลือใช้จากการเกษตรในประเทศไทยนั้นมีหลากหลายชนิดฟางข้าวเป็นชีวมวลที่เหลือจากการเก็บ

เกี่ยวข้าวประมาณ 15.69 ตัน/ปี ซึ่งยังไม่มีนำมาใช้เป็นพลังงานทดแทนอย่างจริงจัง ดังนั้นจึงเป็นโอกาสดีหากจะนำฟางข้าวเหล่านี้มาใช้เป็นแหล่งพลังงานเชื้อเพลิงในโรงงานอุตสาหกรรมหรือโรงไฟฟ้าขนาดเล็ก และสามารถตอบโจทย์นโยบายการใช้พลังงานทดแทนได้

อย่างไรก็ตาม การนำเชื้อเพลิงชีวมวลบางประเภทมาใช้เป็นเชื้อเพลิงเผาไหม้โดยตรงในหม้อไอน้ำต้องคำนึงถึงปัญหาที่อาจเกิดขึ้นเช่น จากการเผาไหม้องค์ประกอบทางเคมีบางธาตุที่อยู่ในเชื้อเพลิง อาจก่อให้เกิดปัญหาทางเทคนิคบางประการ เช่น ปัญหาสิ่งสกปรกเกาะชุดทำให้น้ำส่งผลให้ประสิทธิภาพหม้อไอน้ำต่ำลง (fouling) หรือเรียกว่าเดโพสิต (Deposit) และปัญหาการติดขัดของชุดขับเคลื่อนเชื้อเพลิงในห้องเผาไหม้จากการหลอมตัวของเถ้าบนตะแกรง (sintering และ slagging) โดยปัญหาเหล่านี้เกิดจากสารประกอบบางส่วนในเชื้อเพลิงชีวมวล คือ Potassium (K) Chlorine (Cl) และ Sulfur (S) เมื่อเชื้อเพลิงเกิดการเผาไหม้สารประกอบเหล่านี้จะทำปฏิกิริยากันเกิดเป็นสารประกอบ KCl ซึ่งมีอุณหภูมิจุดหลอมเหลวต่ำประมาณ 750 °C จึงเป็นสาเหตุที่ทำให้เกิดปัญหาดังกล่าว[2-4] ทั้งนี้ ฟางข้าวเป็นเชื้อเพลิงหนึ่งที่มีองค์ประกอบของ  $K_2O$  อยู่มากกว่า 10% [5] ทั้งนี้มีงานวิจัยทั้งในและต่างประเทศศึกษาผลกระทบและการทดปัญหาดังกล่าวพบว่า จากการใช้ฟางข้าวเป็นเชื้อเพลิงทั้งในระดับห้องปฏิบัติการ หรือระดับอุตสาหกรรม พบว่าเกิดปัญหา fouling บนท่อคอนข้างรุนแรงและส่งผลกระทบต่อประสิทธิภาพของหม้อไอน้ำโดยตรง[5] แต่ไม่พบจากการหลอมตัวของเถ้าหนัก (sintering และ slagging) ในการเผาไหม้ฟางข้าว[6] และวิธีการลดปัญหาลักษณะการศึกษาการลดปัญหา fouling มีอยู่ด้วยกันหลายวิธี เช่น การเผาไหม้ภายใต้อุณหภูมิต่ำกว่าจุดหลอม (Melting point) ของสารประกอบ KCl และการใช้วิธีการทางเคมีโดยการให้ K เกิดเป็นสารประกอบใหม่ที่มีจุดหลอมสูงกว่าอุณหภูมิเผาไหม้ปกติ[7-9] คือการใช้สารเติมแต่งที่มีองค์ประกอบของ Al เผาไหม้ร่วมกับเชื้อเพลิงเป็นวิธีการหนึ่งที่ช่วยให้ K เปลี่ยนเป็นองค์ประกอบธาตุใหม่ K-Al-Silicate ที่มีจุดหลอมเหลวสูงขึ้น[6-7] สามารถลดปัญหาดังกล่าวได้ ซึ่งสารเติมแต่งที่หาง่ายภายในประเทศคือดินขาว(Kaolin) สารเติมแต่งอีกชนิดที่น่าสนใจคือถ่านหินแอนทราไซต์ที่มีองค์ประกอบ

ของ Al ของเถ้าเช่นกันประกอบกับบางอุตสาหกรรมมีการใช้งานอยู่บ้างแล้วหรืออาจจะใช้เป็นเชื้อเพลิงเสริมก็อาจจะเป็นผลพลอยได้ในการลดปัญหา fouling จากการเผาไหม้ชีวมวลได้อีกทาง

ดังนั้น บทความวิจัยนี้นำเสนอการใช้เถ้าลिनร่วมกับถ่านหินเป็นสารเติมแต่งในการเผาไหม้ฟางข้าวเพื่อแก้ปัญหาฟางลิ่งหรือเดโพสิต จากการเผาไหม้ฟางข้าวร่วมกับแกลบ (โดยแกลบจะเป็นตัวช่วยให้ฟางข้าวเคลื่อนตัวได้ในเตาเผาไหม้ขนาด Pilot scale [8]) ใช้เตาเผาไหม้ตะแกรงแบบขั้นระดับห้องปฏิบัติการขนาดพิกัด 150 kW<sub>th</sub> รวมทั้งวิเคราะห์กลไกการเกิดเดโพสิตจากองค์ประกอบทางเคมีของเดโพสิตด้วยเทคนิค SEM-EDX และทำแผนที่ธาตุ

## 2. วัสดุอุปกรณ์ที่ใช้ในการทดลองและการทดลอง

### 2.1 เชื้อเพลิงและสารเติมแต่งในการทดลอง

เชื้อเพลิงที่ใช้ในการทดลองคือฟางข้าวแห้งที่ใช้เลี้ยงสัตว์ถูกอัดและมันรวมเป็นก้อน นำมาผ่านกระบวนการสับให้มีความยาวน้อยกว่า 3 cm สำหรับแกลบที่ใช้ นำมาจากโรงสีข้าวต่างๆ ไป ส่วนเถ้าลिनที่นำมาใช้ในการทดลอง คือดินขาวจากแหล่งทางภาคใต้ของประเทศและถ่านหินแอนทราไซต์ที่นำมาใช้มีลักษณะคล้ายผงแป้งมีขนาดน้อยกว่า 1 mm. ดังรูปที่ 1



(ก) ฟางข้าว



(ข) แกลบ

รูปที่ 1 ลักษณะเชื้อเพลิงที่ใช้ในการทดลอง



(ค) ดินขาว(Kaolin)



(ง) ถ่านหินแอนทราไซต์

รูปที่ 1 สารเติมแต่งที่ใช้ในการทดลอง

องค์ประกอบของเชื้อเพลิงและองค์ประกอบทางเคมีในถ่านเชื้อเพลิงและสารเติมแต่ง ดังแสดงในตารางที่ 1 และ 2

ตารางที่ 1 แสดงผลการวิเคราะห์เชื้อเพลิงด้วยวิธีการโดยประมาณ (Proximate analysis) และการวิเคราะห์โดยละเอียด (Ultimate analysis) ซึ่งมีความสำคัญต่อการหาปริมาณอากาศที่ใช้ในการเผาไหม้ และการพิจารณาคุณสมบัติการเผาไหม้ของเชื้อเพลิงแต่ละชนิด

ตารางที่ 1 องค์ประกอบของเชื้อเพลิง

Parameter	Rice Husk	Rice Straw	Anthracite
Moisture(wt%)	10.3	7.5	4.29
Proximate analysis	wt.% on dry basis		
Volatiles	55.6	71.7	9.57
Fixed Carbon	20.1	10.1	80.61
Ash	14	10.7	5.53
Ultimate analysis	wt.% on dry basis		
Carbon	38.7	40.3	79.38
Hydrogen	5.1	5.5	2.16
Oxygen	55.8	53.2	10.81
Nitrogen	0.4	0.4	0.85
Sulphur	0	0.09	0.27
HHV (MJ/kg dry)	14.98	15.21	24

ตารางที่ 2 เป็นการแสดงผลขององค์ประกอบทางเคมีของถ่านเชื้อเพลิงและถ่านหินที่ใช้เป็นสารเติมแต่ง ซึ่งได้จากการนำถ่านของเชื้อเพลิงที่ถูกเตรียมก่อนโดยการนำตัวอย่างเชื้อเพลิงไปให้ความร้อนในตู้อบที่ถูกควบคุมอุณหภูมิที่ 550°C จากนั้นนำถ่านที่ได้ไปวิเคราะห์หาองค์ประกอบโดยใช้เครื่อง X-Ray Fluorescence Spectrometer (XRF)

จากองค์ประกอบทางเคมีของถ่านฟางข้าวและถ่านในตารางที่ 2 จะเห็นได้ว่าถ่านของเชื้อเพลิงทั้ง 2 ชนิด มีซิลิกอน (Si) เป็นองค์ประกอบหลักโดยเฉพาะถ่านของถ่านประกอบด้วยซิลิกอน (Si) เป็นส่วนใหญ่ โพแทสเซียม (K) มีมากในฟางข้าว แต่มีอยู่น้อยในถ่าน เช่นเดียวกับคลอรีน (Cl) ซึ่งพบมากในฟางข้าว ส่วนถ่านหินองค์ประกอบหลักเป็นซิลิกอน (Si) และอะลูมิเนียม (Al) มากกว่า 80% ขององค์ประกอบธาตุโดยรวม

ตารางที่ 2 องค์ประกอบทางเคมีของเชื้อเพลิงและถ่านหิน

Parameter	Rice Husk	Rice Straw	KAOLIN	Anthracite Coal
Ash composition	wt.% on dry basis			
SiO <sub>2</sub>	90.50	71.4	49.0	43.3
Al <sub>2</sub> O <sub>3</sub>	0.11	0.22	34.30	31.50
TiO <sub>2</sub>	0	0.01	0.52	0.63
Fe <sub>2</sub> O <sub>3</sub>	0.07	0.129	1.00	10.60
CaO	0.59	3.17	0.01	3.30
MgO	0.58	2.04	0.35	1.39
Na <sub>2</sub> O	0.05	0.45	0.07	1.15
K <sub>2</sub> O	2.32	11.90	1.80	3.62
P <sub>2</sub> O <sub>5</sub>	0.93	1.22	-	0.35
SO <sub>3</sub>	0.30	0.86	-	3.62
Cl	0.14	3	-	0

สามารถวิเคราะห์ในเบื้องต้นถึงแนวโน้มการที่จะเกิดสารอนินทรีย์ (KCl) มีจุดหลอมเหลวที่ 740°C จากการเผาไหม้ฟางข้าวที่มีบทบาทต่อการเกิดเคโพลิตบนผิวท่อไอน้ำและการกัดกร่อน [10] ส่วนถ่านพบว่าสารอนินทรีย์ในถ่านส่วนใหญ่คือ Si และถึงแม้ว่าจะมี Cl อยู่บ้างแต่มีปริมาณน้อยมากดังนั้นปริมาณสารประกอบ KCl ที่เกิดขึ้นจึงไม่น่าจะสำคัญที่ก่อให้เกิดปัญหาฟอสฟอรัสได้

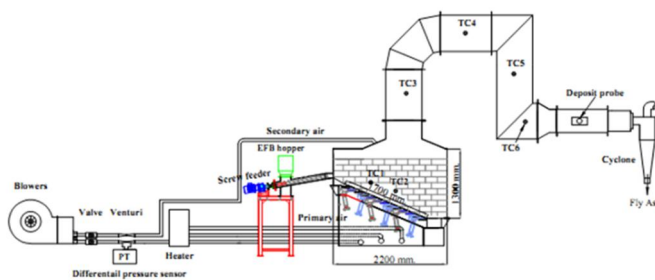
สำหรับความเป็นไปได้ถึงแนวโน้มการเกิดสารประกอบใหม่จากการทำปฏิกิริยาของธาตุอนินทรีย์ในถ่านเชื้อเพลิงพิจารณาได้จากสัดส่วนของโพแทสเซียม(K) ในเชื้อเพลิง และปริมาณอะลูมิเนียม(Al) ในถ่านและถ่านหินที่ใช้เป็นสารเติมแต่ง (K/Al) จากข้อมูลโพแทสเซียม(K) ถ่านของเชื้อเพลิงและองค์ประกอบ Al ในถ่านดังแสดงตารางที่ 2 อยู่ในรูป K-Al silicate มีจุดหลอมเหลวสูงประมาณ 1600°C การคำนวณปริมาณสารสัมพันธ์ที่มี Al พอใช้ในการทำปฏิกิริยากับโพแทสเซียมคลอไรด์(KCl) ซึ่งใช้ถ่านร้อยละ 5% โดยน้ำหนักฟางข้าว ส่วนถ่านหินแอนทราไซต์ใช้ร้อยละ 53.6% โดยน้ำหนักฟางข้าว

### 3. อุปกรณ์และวิธีการทดลอง

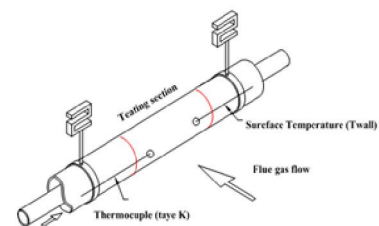
ในการทดลองทั้งหมดจะดำเนินการในเตาเผาไหม้ ตะกรับ แบบ ขั้นบันได (Step grate-fired combustor) พิกัด 150 kW<sub>th</sub> ขนาดของตะกรับซึ่งจัดวางในแนวเอียงมีขนาด 0.68x1.7 m มิติภายนอกของเตาคือ 1.15x2.35x4.40 m (กxยxส) ในรูปที่ 2 สำหรับแผนภาพแสดงอุปกรณ์และตำแหน่งจัดวางอุปกรณ์ภายในระบบในเชื้อเพลิงถูกป้อนเข้าทางด้านหน้าเตาด้วยสกรูลำเลียง

จำนวน 2 ชุด ซึ่งควบคุมความเร็วรอบโดยใช้อินเวอร์เตอร์ (inverter) ขณะที่กระบวนการเผาไหม้ดำเนินไปเชื้อเพลิงจะถูกผลักให้เคลื่อนที่ไปทางด้านท้ายของห้องเผาไหม้โดยการเคลื่อนที่กลับไป-มาของใบกวาดที่ติดตั้งอยู่เหนือชั้นบันไดซึ่งอยู่กับที่ ถ้าเชื้อเพลิงที่อยู่บริเวณด้านท้ายสุดของห้องเผาไหม้จะตกลงสู่สกรูลำเลียงออกไปจากห้องเผาไหม้โดยสกรูลำเลียง ถ้าอากาศเผาไหม้จะถูกแบ่งออกเป็น 2 ส่วนคือ 1) อากาศปฐมภูมิซึ่งถูกจ่ายเข้าทางด้านล่างของพื้นตะกรับสำหรับเผาไหม้เชื้อเพลิงบน

ตะกรับแบ่งจ่ายประมาณ 67% ของอากาศรวม และ 2) อากาศทุติยภูมิซึ่งถูกจ่ายเข้าไปภายในห้องเผาไหม้ที่บริเวณเหนือกองเบดเชื้อเพลิงซึ่งมีความสูงจากพื้นตะกรับประมาณ 1.5 m เพื่อเผาไหม้สารระเหยและอนุภาคเชื้อเพลิงที่เผาไหม้ไม่หมดแบ่งจ่ายประมาณ 33% และในส่วนของการอุ่นอากาศปฐมภูมิใช้ฮีตเตอร์เป็นอุปกรณ์อุ่นอากาศก่อนป้อนเข้าห้องเผาไหม้



(ก) แผนภาพเตาเผาไหม้ตะกรับแบบขึ้น



(ข) แผนภาพท่อไอ้ร้อนยวดยิ่งจำลอง

รูปที่ 2 อุปกรณ์การทดลองเผาไหม้ฟางข้าวในระดับห้องปฏิบัติการ

ตารางที่ 3 เงื่อนไขและสภาวะการทดลอง

Test no.	Conditions						Deposit Flux (g/m <sup>2</sup> h)
	Rice Straw : Rice Huck	Additive (wt.% of straw)	Stoich. Ratio (-)	T <sub>1</sub> (°C)	T <sub>2</sub> (°C)	T <sub>6</sub> (°C)	
1. (Ref.)[5]	80:20	-	-	855	801	763	188
2.	80:20	Anth.32.1+kao.2	1.0	838	751	804	68
3.	80:20	Anth. 17.9+kao.3.7	1.0	824	739	804	40

ส่วนการจำลองสภาพท่อไอ้ร้อนยวดยิ่งหรือท่อเดโฟลิต (Deposit probe)[2] ซึ่งถูกติดตั้งในบริเวณท้ายของท่อลำเลียงแก๊สเผาไหม้ (ดูรูปที่ 2(ข)) เพื่อจำลองสภาวะการทำงานของท่อไอ้ร้อนยวดยิ่ง ท่อเดโฟลิตถูกออกแบบด้วยจุดประสงค์ คือ ศึกษาผลกระทบของการเกิดเดโฟลิตหรือฟาวลิ่งต่อการแลกเปลี่ยนความร้อน ท่อเดโฟลิตใช้ท่อ SCH40 ขนาดเส้นผ่านศูนย์กลางภายนอก 35 mm ใช้อากาศเป็นตัวกลางการรับความร้อน อุณหภูมิผิวท่อเดโฟลิต (Twall) วัดโดยเทอร์โมคัปเปิล ในการควบคุมอัตราการไหลของอากาศใช้โรตاميเตอร์ (Rota meter) และวัดการเปลี่ยนแปลงอุณหภูมิอากาศที่ไหลผ่านท่อ

เดโฟลิตด้วยเทอร์โมคัปเปิลสำหรับนำไปคำนวณความสามารถรับความร้อน ดังสมการที่ 1 และคำนวณความสามารถการถ่ายเทความร้อนสัมพัทธ์ ดังสมการที่ 2

$$Q_{th} = \dot{m}_a c_{p,a} (T_{a,out} - T_{a,in}) \quad (1)$$

ความสามารถการถ่ายเทความร้อนสัมพัทธ์

$$Relative \ heat \ uptake \ (%) = \left[ \frac{Q_t}{Q_{max}} \right] \times 100 \quad (2)$$



กำหนดให้

$Q_{th}$  = อัตราการรับความร้อน (W)

$Q_t$  = อัตราการรับความร้อนรวมที่เวลาใดๆ (W)

$Q_{Max}$  = อัตราการรับความร้อนรวมสูงสุด (เวลาเริ่มต้น) (W)

$\dot{m}_a$  = อัตราการไหลของอากาศ (kg/s)

$c_{p,a}$  = ค่าความร้อนจำเพาะของอากาศ (J/kg.k)

$T_{a,in}$  = อุณหภูมิอากาศเข้าท่อไอน้ำร้อนจำลอง (°C)

$T_{a,out}$  = อุณหภูมิอากาศเข้าท่อไอน้ำร้อนจำลอง (°C)

การดำเนินการทดลองทำการเผาไหม้ฟางข้าวร่วมกับแกลบในเตาเผาไหม้ตะกรับแบบขึ้น มีเงื่อนไขและสภาวะการทดลองดังแสดงในตารางที่ 3 แบ่งออกเป็น 2 ส่วนคือ 1.เผาไหม้แกลบร่วมกับฟางข้าวล้วน(Ref.) และ 2. เผาไหม้เผาไหม้แกลบร่วมกับฟางข้าวผสมสารเติมแต่งร่วมกันระหว่างถ่านหินแอนทราไซต์กับเกาลินที่ปริมาณสารสัมพันธ์ที่ Al พติทำปฏิกิริยากับ K ในถ่านเชื้อเพลิงพอดิ โดยแบ่งสัดส่วนการผสมเป็นสารเติมแต่ง แอนทราไซต์(Ant.)+เกาลิน(Kao.) เท่ากับ Ant. 60% + Kao.40% และ Ant.60% + Kao.40% (ของปริมาณสารสัมพันธ์) หรือคำนวณโดยน้ำหนักของฟางข้าวเท่ากับ คือ Ant.32.1+Kao.2 และ Ant.17.9+Kao.3.7(โดยน้ำหนักฟางข้าว) โดยจะผสมสารเติมแต่งกับเชื้อเพลิงล่วงหน้าก่อนการเผาไหม้(premix) ในทุกเงื่อนไขการทดลองควบคุมอุณหภูมิเผาไหม้ T1 800-850 (สูงกว่าจุดหลอม KCl) ส่วนสภาพท่อไอน้ำร้อยยวดยิ่ง ควบคุมอุณหภูมิเข้าปะทะท่อไอน้ำ T6  $\approx$ 800°C ควบคุมอุณหภูมิผิวท่อไอน้ำร้อนอยู่ในช่วง 400-450°C ดำเนินการภายใต้สภาวะคงตัว(Study state) เป็นระยะเวลา 11 ชั่วโมง สิ้นสุดการทดลองนำเตาเผาไหม้ที่เกาะบนท่อไอน้ำร้อนยวดยิ่งวิเคราะห์ลักษณะทางกายภาพของเตาเผาไหม้ที่เกาะบนผิวท่อ และนำตัวอย่างองค์ประกอบทางเคมีด้วยการสังเคราะห์ด้วยเทคนิค SEM-EDX และทำแผนที่ธาตุ

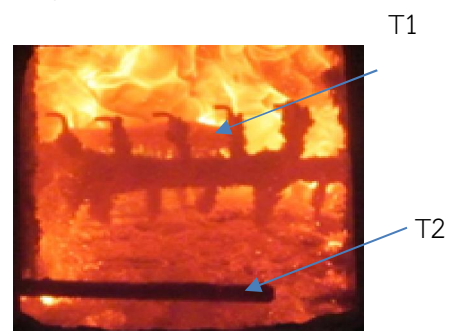
#### 4. ผลการทดลองและวิจารณ์ผลการทดลอง

จากการศึกษาการเกิดเตาเผาไหม้การเผาไหม้แกลบร่วมกับฟางข้าวในเตาเผาไหม้ตะกรับแบบขึ้น และผลของแนวทางการลดของความรุนแรงของเตาเผาไหม้บนท่อจำลองสภาพท่อไอน้ำจากการใช้สารเติมแต่งเผาไหม้ร่วมกับ

เชื้อเพลิง โดยพิจารณาลักษณะทลายภาพและพลั๊กซ์ของเตาเผาไหม้ ผลกระทบต่อความสามารถการรับความร้อนของท่อไอน้ำ และวิเคราะห์ถึงองค์ประกอบธาตุของเตาเผาไหม้ การเกิด และการเกิดสารประกอบใหม่จากการใช้ถ่านหินแอนทราไซต์ร่วมกับเกาลินเป็นสารเติมแต่ง สามารถแสดงดังหัวข้อต่อไปนี้

#### 4.1 การเผาไหม้ในห้องเผาไหม้การเผาไหม้

การเผาไหม้ ฟางข้าว:แกลบ 80:20 โดยน้ำหนักใช้สารเติมแต่งร่วมกัน หินแอนทราไซต์ (Ant.)+เกาลิน (Kao.) เท่ากับ 32.1+2 และ 17.9+3.7 %โดยน้ำหนักฟางข้าว(ปริมาณสารสัมพันธ์ที่ทำปฏิกิริยากับ K ในฟางข้าว) จากรูปที่ 3 และตารางสรุปผลการทดลอง สังเกตได้ว่าอุณหภูมิเผาไหม้มีค่าใกล้เคียงกันอุณหภูมิ T1 และ T2 ค่าใกล้เคียงกันอยู่ในช่วง 720-850°C การเผาไหม้ส่วนใหญ่อยู่บริเวณ T1 อยู่ในช่วง 820-850°C สังเกตได้จากเปลวที่เกิดขึ้นตั้งแต่ช่องป้อนเชื้อเพลิง และเปลวไฟเริ่มน้อยลงเมื่อเชื้อเพลิงเลื่อนมาถึงตำแหน่ง T2 ส่งผลให้อุณหภูมิลดลง เหลือประมาณ 750°C ต่ำ นอกจากนี้จากการสังเกตได้ว่ามีอนุภาคที่ปลิวไปกับแก๊สเสียในการทดลองที่มีการผสมถ่านหินในรูปที่ 3(ข) โดยอุณหภูมิ T6 มีค่า 800°C ถูกควบคุมให้มีค่าใกล้เคียงกันทุกการทดลองเพื่อลดผลกระทบของความสามารถการถ่ายเทความร้อนเนื่องจากอุณหภูมิแก๊สเผาไหม้



(ก) ลักษณะภายในห้องเผาไหม้



อนุภาคที่หลุด  
ไปกับแก๊สไอเสีย

(ข) ลักษณะการปลิวของเถ้าถ่านหิน  
รูปที่ 3 พฤติกรรมการเผาไหม้ภายในห้องเผาไหม้

#### 4.2 ลักษณะของเตโพลิตบนท่อไอน้ำร้อนยวดยิ่ง จำลอง

จากภาพถ่ายเตโพลิตด้านหน้า(ด้านปะทะแก๊สไอเสีย) ด้านข้าง ด้านหลังของท่อไอน้ำร้อนยวดยิ่งจำลองที่เกิดจากการเผาไหม้ ฟางข้าว:แกลบ 80:20 โดยน้ำหนักใช้สารเติมแต่งร่วมกัน หินแอนทราไซต์ (Anth.)+เกาลิน (Kao.) เท่ากับ 32.1+2 และ 17.9+3.7 โดยน้ำหนักฟางข้าว (ปริมาณสารสัมพันธ์ที่ทำปฏิกิริยากับ K ในฟางข้าว) ดังแสดงรูปที่ 4 พบว่าโดยรวมของเตโพลิตเกิดขึ้นบริเวณ

ด้านหน้าท่อ (ด้านท่อหันเข้าปะทะกับการไหลของแก๊ส) มีลักษณะเป็นผงละเอียดสีขาวปนกับสีสนิมเกาะรวมตัวกันอยู่เป็นรูปทรงสามเหลี่ยมสามารถขูดออกได้โดยง่ายและมีการหลุดออกเองเมื่อถอดออกจากห้องเผาไหม้ ส่วนใหญ่มีความหนาแน่นปะทะแก๊สไอเสียประมาณ 2 mm. ซึ่งคาดว่าจะจะเป็นอนุภาคถ่านหินโดยมีองค์ประกอบของเหล็ก (Fe) ปะปนอยู่[5] คาดว่าถ่านหินที่ปลิวหลุดมาจากแก๊สเผาไหม้บางส่วนมาเกาะบนผิวท่อไอน้ำร้อนยวดยิ่งจำลอง ซึ่งแสดงผลของการวิเคราะห์องค์ประกอบทางเคมีที่จะกล่าวในภายหลัง และพบอนุภาคของเกาลินที่มีองค์ประกอบของ Al ที่ปลิวมาเกาะอยู่บนท่อไอน้ำ ซึ่งแตกต่างจากกรณีเผาไหม้แกลบกับฟางข้าวโดยไม่มีการผสมสารเติมแต่งที่มีเป็นชั้นหนาประมาณ 8 mm. ดังแสดงในรูปที่ 5 มีการโอบไปด้านหลัง(ประมาณครึ่งเส้นรอบวง) ส่วนบริเวณด้านหลังท่อไอน้ำมีลักษณะเป็นผงละเอียดเกาะกันอยู่อย่างหลวมๆ ซึ่งพบเป็นผงอนุภาคสีขาวปะปนอยู่(ซึ่งคาดว่าจะเป็นแอโรซอลของ KCl) อยู่ด้วยในทุกเงื่อนไขการทดลองไม่พบ KCl ที่เกาะบริเวณด้านหน้าท่อ

Experiment Straw : Rice husk	Additive (wt.% of straw)	Upstream Temp.°C	Deposit probe		
			Upstream side	Lateral side	Downstream side
80 : 20	-	740			
80 : 20	Anth.32.1+kao2	804			
80 : 20	Anth.17.9+kao3.7	803			

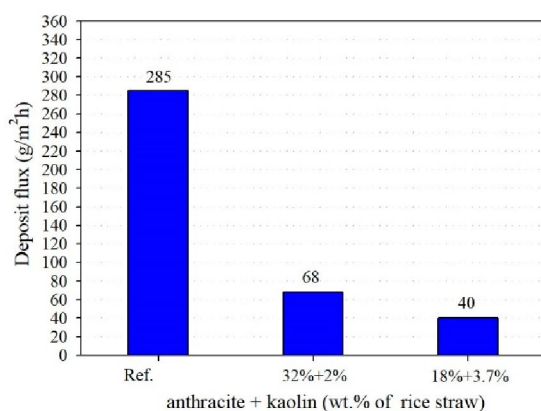
รูปที่ 4 ลักษณะของเตโพลิตการเผาไหม้ของเชื้อเพลิงฟางข้าว:แกลบ 80:20(โดยน้ำหนัก)



รูปที่ 5 เดโพลิตที่ถูกนำออกมาจากท่อไอน้ำจากการเผาไหม้เชื้อเพลิงผสมฟางข้าว:แกลบ 80:20 ไม่ผสมสารเติมแต่ง

#### 4.2 เดโพลิตและความสามารถในการถ่ายเทความร้อน

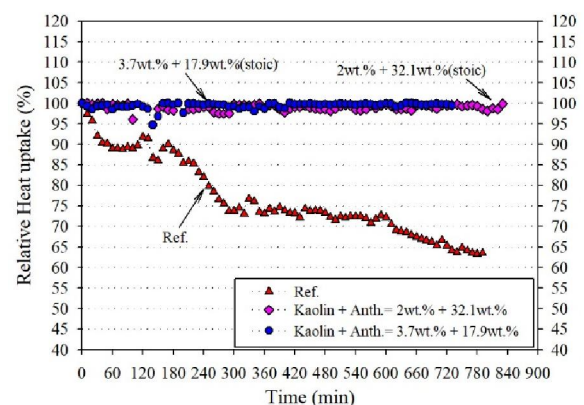
ผลของเดโพลิตฟลักซ์ ( $\text{g/m}^2\text{h}$ ) จากการเผาไหม้ฟางข้าว:แกลบ 80:20 โดยน้ำหนักใช้สารเติมแต่งร่วมกันระหว่าง หินแอนทราไซด์ (Anth.)+เกาลิน (Kao.) เท่ากับ 32.1%+2% และ 17.9%+3.7% โดยน้ำหนักฟางข้าว (ปริมาณสารสัมพันธ์ที่ทำปฏิกิริยากับ K ในฟางข้าว) ดังแสดงรูปที่ 6 จะเห็นได้ว่ามีปริมาณการเกิดเดโพลิตใกล้เคียงกันคือ 40-68  $\text{g/m}^2\text{h}$  ซึ่งสามารถลดประมาณเดโพลิตที่เกิดจากการเผาไหม้แกลบกับฟางข้าวอย่างเดียวประมาณ 5 เท่า (การเผาไหม้ฟางข้าวไม่ผสมสารเติมแต่งมีค่าสูง 285  $\text{g/m}^2\text{h}$ ) ลักษณะเดโพลิตที่ยังเกิดขึ้นส่วนใหญ่เกิดจากผงถ่านหินและเกาลินที่ปลิวไปกับแก๊สเผาไหม้ ซึ่งพบสารประกอบบนเดโพลิตเป็น Fe และ Al ซึ่งสามารถทำความสะอาดได้โดยง่าย ต่างจากการเผาไหม้แกลบกับฟางข้าวอย่างเดียวที่เกิดปริมาณที่เยอะและทำความสะอาดยาก



รูปที่ 6 เดโพลิตฟลักซ์ที่เกาะบนท่อไอน้ำร้อน

ส่วนผลกระทบต่อความสามารถในการถ่ายเทความร้อนสัมพันธ์เทียบกับค่าที่เวลาเริ่มต้นในรูปที่ 9 พบว่าในทุกเงื่อนไขการทดลองเดโพลิตที่เกาะบนท่อไอน้ำร้อน

ส่งผลต่อความสามารถในการถ่ายเทความร้อนน้อยมากค่าไม่เกิน 5 % อาจเป็นเพราะปริมาณและพื้นที่ปกคลุมน้อยมาก (เกิดขึ้นเฉพาะด้านหน้าเป็นฐานสามเหลี่ยมแคบ) ซึ่งไม่ส่งผลต่อการแลกเปลี่ยนความร้อนระหว่างแก๊สเผาไหม้กับผิวท่อไอน้ำร้อนยวดยิ่ง ในขณะที่การเผาไหม้โดยไม่ใช้สารเติมแต่งความสามารถในการถ่ายเทความร้อนลดลงถึง 35% ภายในระยะเวลาการทดลองที่ 11 ชั่วโมงเท่ากัน

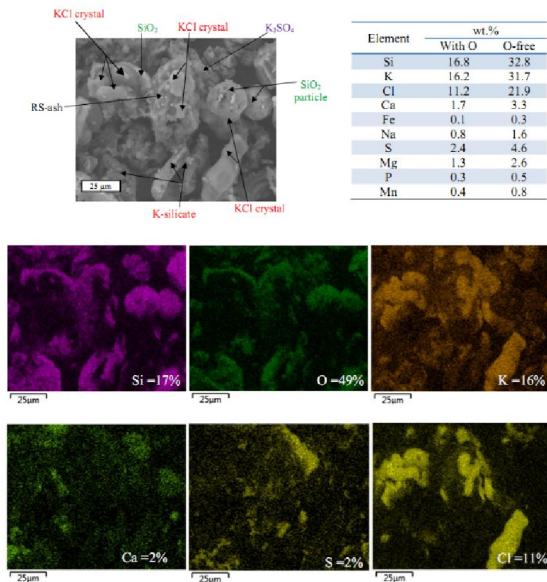


รูปที่ 9 ความสามารถในการถ่ายเทความร้อน

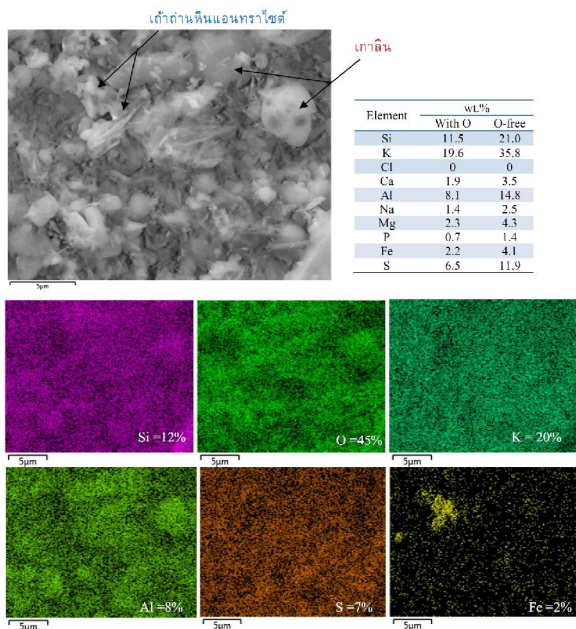
#### 4.3 การวิเคราะห์โครงสร้างทางเคมีของเดโพลิต

การวิเคราะห์โครงสร้างของเดโพลิตที่เกาะบนท่อไอน้ำร้อนยวดยิ่งด้วยเทคนิค SEM-EDX และแผนที่ธาตุ โดยการนำเดโพลิตที่เกาะบนผิวท่อไอน้ำร้อนยวดยิ่งจำลอง (ด้านปะทะแก๊สเผาไหม้) จากการเผาไหม้ ฟางข้าว:แกลบ (โดยไม่ใช้สารเติมแต่ง)[5] และการเผาไหม้ร่วมกับสารเติมแต่งถ่านหินร่วมกับเกาลิน มาวิเคราะห์โครงสร้างและองค์ประกอบด้วยเทคนิค SEM-EDX แสดงในรูปแบบของแผนที่ธาตุในการวิเคราะห์การทำปฏิกิริยาขององค์ประกอบธาตุในเดโพลิตดังแสดงในรูปที่ 10





(ก) ไม่ผสมสารเติมแต่ง



(ค) สารเติมแต่งถ่านหินผสมเกลือรูปที่ 10 โครงสร้างและแผนที่ธาตุที่ของเคโพลิตด้านหน้าท่อไอน้ำร้อนยวดยิ่งจำลอง

จากผลโครงสร้างและองค์ประกอบของเคโพลิตชั้นจากการเผาไหม้แกลบร่วมกับฟางข้าวโดยไม่ใช้สารเติมแต่งของงานวิจัยที่ผ่านมา แสดงดังรูปที่ 10(ก) จากองค์ประกอบที่วิเคราะห์ได้โดย SEM-EDX พบว่าองค์ประกอบหลัก คือ Si, K และ Cl รองลงมาคือ S และ Ca โดย Si มีประมาณ 33 wt.% และผลรวมของ K, Cl

และ S มีประมาณ 52 wt.% จากอัตราส่วนโดยโมล  $K/(2S+Cl)$  ซึ่งมีค่าประมาณ 1.0 แสดงว่า K ทั้งหมดอยู่ในรูปของ KCl และ  $K_2SO_4$  แสดงให้เห็นว่าทั้งกลไกการควบแน่นของ KCl และกลไกการปะทะโดยแรงเฉื่อย (inertial impaction) ส่งผลให้มีค่าเคโพลิตฟลักซ์สูงถึง  $285 \text{ g/m}^2\text{h}$

จากผลการทดลองในส่วนนี้จะเป็นการศึกษาการเผาไหม้ ฟางข้าว : แกลบ (80:20 โดยมวล) ใช้สารเติมแต่งเกลือ 3.7% ของน้ำหนักฟางข้าว ร่วมกับถ่านหินแอนทราไซต์ร้อยละ 17.9 ของน้ำหนักฟางข้าว ซึ่งมีปริมาณ Al เป็นไปตามปริมาณสารสัมพันธ์เพื่อทำปฏิกิริยากับ K จากผลการทดลองพบว่าเคโพลิตของฟลักซ์เท่ากับ  $40 \text{ g/m}^2\text{h}$  และผลการวิเคราะห์โครงสร้างและองค์ประกอบของเคโพลิตบนผิวท่อไอน้ำยวดยิ่งจำลองโดยใช้ SEM-EDX ซึ่งโครงสร้างและองค์ประกอบของชั้นด้านนอกของเคโพลิตบริเวณด้านหน้าท่อไอน้ำแสดงดังรูปที่ 7(ข) ของเคโพลิตด้านหน้าท่อไอน้ำยวดยิ่งจำลองที่หันหน้าเข้าปะทะแก๊สเผาไหม้ พบว่าองค์ประกอบหลักคือ Si, K, Al และ S องค์ประกอบรองลงมาคือ Fe, Na, Ca และ Mg การที่เคโพลิตมี Al และ K เป็นองค์ประกอบหลัก แสดงให้เห็นว่าเคโพลิตชั้นด้านนอกที่หันหน้าเข้าปะทะแก๊สเผาไหม้ประกอบด้วยอนุภาคของเกลือและถ่านหินแอนทราไซต์เป็นหลักและโพแทสเซียมถูกดักจับไว้ได้โดย Al ในเกลือและถ่านหินแอนทราไซต์ และจากแผนที่ธาตุจะเห็นได้ว่าธาตุหลักทุกธาตุกระจายอยู่อย่างค่อนข้างสม่ำเสมอ การปรากฏของ K ในเคโพลิตแสดงให้เห็นว่า Al ในอนุภาคเกลือและถ่านหินแอนทราไซต์ได้รวมตัวกับ K เกิดเป็นสารประกอบโพแทสเซียมออลูมิโนซิลิเกต (K-Al-Silicate) ซึ่งมีจุดหลอมเหลวสูง มีข้อน่าสังเกตว่าเคโพลิตมี S เป็นองค์ประกอบหลักด้วยและอยู่ในรูป  $K_2SO_4$  แต่ไม่มี Cl หลงเหลืออยู่ในเคโพลิตเลย ซึ่งเมื่อเปรียบเทียบกับกรณีที่ใช้เกลือร้อยละ 5 โดยน้ำหนักฟางข้าว [5] พบว่ามีทั้ง Cl และ S อยู่ในองค์ประกอบของเคโพลิต ดังนั้น ผลการทดลองนี้แสดงให้เห็นประเด็นสำคัญที่ว่าในการเผาไหม้ที่ใช้สารเติมแต่งเกลือ 3.7% ของน้ำหนักฟางข้าว ร่วมกับถ่านหินแอนทราไซต์ร้อยละ 17.9 ของน้ำหนักฟางข้าว ยังสามารถเกิดปฏิกิริยาซิลเฟชันของ KCl ได้อย่างดีเช่นเดียวกับการเผาไหม้



ฟางข้าวร่วมกับถ่านหินแอนทราไซต์ร้อยละ 53.6 ของน้ำหนักฟางข้าว[5] เนื่องจากการเผาไหม้ถ่านหินทำให้ความเข้มข้นของแก๊ส  $SO_2/SO_3$  ในแก๊สเผาไหม้ถ่านหินแอนทราไซต์นั่นเอง อย่างไรก็ตาม การที่ไม่ปรากฏ KCl ในเดโพลิต แต่มีเถ้าเชื้อเพลิง อนุภาคเกาหลิน และเถ้าถ่านหินแอนทราไซต์ไปเกาะอยู่บนผิวท่อไอน้ำได้คาดว่าที่เป็นเช่นนี้เป็นผลมาจาก KCl ที่เกิดขึ้นอยู่ก่อนทำปฏิกิริยากับ  $SO_2/SO_3$  แสดงว่าเริ่มแรกนั้น KCl ได้เกิดการควบแน่นบนท่อไอน้ำอยู่ก่อน และทำให้สามารถดักจับเถ้าเชื้อเพลิง อนุภาคเกาหลิน และเถ้าถ่านหินแอนทราไซต์ไว้ได้ ดังนั้นปริมาณ KCl ในเดโพลิตที่ควบแน่นบนผิวท่อไอน้ำจึงมีไม่มากจึงเกิดเดโพลิตในอัตราที่ต่ำลงตามไปด้วย

## 5. สรุปผลการทดลอง

จากการศึกษาการลดเดโพลิตจากการใช้สารเติมแต่งถ่านหินแอนทราไซต์ร่วมกับเกาหลินจากการเผาไหม้ฟางข้าวร่วมกับแกลบในไหม้เผาไหม้ตะกรับแบบขึ้นสามารถสรุปได้ดังนี้

1. การเผาไหม้ฟางข้าวร่วมกับแกลบโดยใช้สารเติมแต่งถ่านหินแอนทราไซด์ผสมร่วมกับเกาหลิน พบว่าการเผาไหม้ค่อยข้างรุนแรงอุณหภูมิภายในเผาไหม้ 740-850°C ในขณะที่เผาไหม้พบอนุภาคหลุดไปกับแก๊สไอเสีย
2. ลักษณะเดโพลิตที่เกิดขึ้นเกาะบริเวณด้านปะทะแก๊สไอเสียเกาะกันแบบหลวมๆ พบว่ามีทั้งอนุภาคเถ้าถ่านหิน เถ้าเชื้อเพลิงและผลเกาหลินมีค่าเดโพลิตพลักซ์ 40-68 g/m<sup>2</sup>h ลดลงจากกรณีที่ไม่ผสมสารเติมแต่งถึง 5 เท่า ซึ่งส่งผลต่อความสามารถการถ่ายเทความร้อนสัมพัทธ์ลดลงเพียง 2-5%
3. จากการวิเคราะห์องค์ประกอบทางเคมีพบว่าองค์ประกอบของเดโพลิตจากการเผาไหม้ฟางข้าวมีองค์ประกอบหลักคือ KCl ที่เป็นสาเหตุให้เถ้าที่มีองค์ประกอบ Si จับเป็นชั้นเดโพลิต ส่วนองค์ประกอบธาตุของเดโพลิตจากการเผาไหม้ที่มีการผสมเกาหลินพบองค์ประกอบธาตุอยู่ในรูปของ K-Al-Silicate และองค์ประกอบของ Fe คืออนุภาคถ่านหิน

4. ในการใช้ถ่านแอนทราไซด์ร่วมกับเกาหลินเป็นสารเติมแต่งร่วมเผาไหม้ร่วมกับฟางข้าวและแกลบ สามารถเป็นทางเลือกในการนำไปใช้อย่างได้อย่างดี หรืออาจนำเถ้าของถ่านหินมาใช้เป็นสารเติมแต่งก็อาจเป็นทางเลือกหนึ่ง

## 6. กิตติกรรมประกาศ

งานวิจัยนี้ได้รับทุนอุดหนุนวิจัยจากฝ่ายบริหารคณบดีและโปรแกรมวิจัยสำนักงานพัฒนาวิทยาศาสตร์และเทคโนโลยีแห่งชาติและสำนักงานนโยบายและแผนพลังงานกระทรวงพลังงาน

## 7. เอกสารอ้างอิง

- [1] กรมพัฒนาพลังงานทดแทนและอนุรักษ์พลังงาน (กนิยาน 2558) แผนพัฒนาพลังงานทดแทนและพลังงานทางเลือก พ.ศ. 2558 – 2579 (Alternative Energy Development Plan: AEDP2015)
- [2] Jensen P.A., Stenholm M., Hald P., (1997), “Deposition investigation in straw-fired boilers”, Energy Fuel, vol.11, PP. 1048-1055.
- [3] Hansen L.A., Nielsen H.P., Frandsen F.J., Dam-Johansen K., Horlyck S., Karlsson A., (2000), “Influence of deposit formation on corrosion at a straw-fired boiler”, Fuel Processing Technology, vol. 64, PP. 189-209.
- [4] Yang M., Xie Q., Wang X., Dong H., Zhang H., Li C., (2018), “Lowering ash slagging and fouling tendency of high-alkali coal by hydrothermal pretreatment”, International Journal of Mining Science and Technology, (In Press).
- [5] ธรรมบุญ อุดมมัน, ประวิทย์ สิงห์โตทอง, ฐานิตย์ เมธิยานนท์ (2560) “การศึกษาข้อมูลพื้นฐานของการเผาไหม้ของฟางข้าว แกลบ และถ่านหินบิทูมินัส : แนวโน้มการเกิดปัญหาจากเปลี่ยนแปลงของเถ้าเชื้อเพลิงในขณะการเผาไหม้”, การประชุมวิชาการเรื่องการถ่ายเทพลังงานความร้อนและมวลในอุปกรณ์ด้านความร้อนและกระบวนการ ครั้งที่ 16, จังหวัดเชียงใหม่



- [6] Theis M., Skrifvars B.-J., Zevenhoven M., Hupa M., and Tran H., (2006), “Fouling tendency of ash resulting from burning mixtures of biofuels. Part 3: influence of probe surface temperature”, *Fuel*, vol. 85, PP. 2002–2011.
- [7] Zevenhoven M., Yrjas P., Skrifvars B.-J., and Hupa M., (2012), “Characterization of Ash-Forming Matter in Various Solid Fuels by Selective Leaching and Its Implications for Fluidized-Bed Combustion”, *Energy Fuels*, vol. 26 (10), PP. 6366–6386.
- [8] A.A. Khan, W. de Jong, et al., (2006), “Biomass combustion in fluidized bed boiler: Potential problems and remedies.” *Fuel*, vol.85, pp.1992-2001.
- [9] Zevenhoven M., Yrjas P., Skrifvars B.-J., and Hupa M., (2012), “Characterization of Ash-Forming Matter in Various Solid Fuels by Selective Leaching and Its Implications for Fluidized-Bed Combustion”, *Energy Fuels*, vol. 26 (10), PP. 6366–6386.
- [10] Zevenhoven M., Yrjas P., Skrifvars B.-J., and Hupa M., (2012), “Characterization of Ash-Forming Matter in Various Solid Fuels by Selective Leaching and Its Implications for Fluidized-Bed Combustion”, *Energy Fuels*, vol. 26 (10), PP. 6366–6386.